

# 消波堤の波高伝達率・反射率に関する実験的研究

東北大学 工学部 正員 ○沼田 康  
〃 学生員 横山正信

## 1 はじめに

著者の一人は、鉛直ブロソク堤の波高伝達率が、波形勾配の関数として、近似的に式(1)によって表わしうることを実験的に求めているが<sup>1)</sup> 式中に含まれるK値の特性や縮尺の影響については充分な検討を行なっていなかった。そこで、本研究では、Le Méhauté<sup>2)</sup>および富永・坂本<sup>3)</sup>の鉛直捨石堤に対する実験値並びに著者らおよび長尾・加藤の鉛直ブロソク堤に対する実験値を用いてK値の特性および縮尺の影響について検討を加えると共に、反射率Kについても二、三の考察を行なった。

$$K_T = H_T/H_I = 1/\{1+K(H/L)^{0.5}\}^2 \quad \dots \dots \dots (1)$$

こ:  $K_T$  = 伝達波高,  $H_I$  = 入射波高.

## 2 波高伝達率

### 2-1 鉛直捨石堤の場合

Fig-1は、水深h、堤体幅Bを一定に保ち、周期T、波高Hを種々変化させて行なったLe Méhautéの実験値をBをバラメーターとして、横軸K/H/L、縦軸K/Tととって図示して一例で、図中の実線は(1)式による近似曲線、曲線上の数字は近似曲線に対するK値である。なお、図中黒く塗りつぶした実験値は、K/Tが他の一群の実験値に比べ極端に小さいものを区別して示したもので、ほんかL > 0.5, B/L > 0.25の場合に相当している。しかし、この構造物が、このような条件を満足することは、極端に周期の短い波に対する場合を除けば殆んどあり得ず、工学的にはこのような実験値を除外して考えて差支えないであろう。これらの中からK値を比較すると、Bが大きいほどK値が大きくなる傾向は明瞭であるが、とあが捨石の粒径dの影響は明瞭ではない。井島らの理論によるとB/h = 1.0程度までは、K/TとB/hの影響はあるまい(検討資料はすべてB/h < 1.24)とされているので、KとB/dの関係を調べてみたのがFig-2である。Le Méhautéおよび富永・坂本の実験値とも、両対数方眼紙上では一本の直線で近似され、これらの実験範囲内ではKはB/dのみの関数と見なして差支えないようと思われる。この近似直線式を(1)式に代入すれば、鉛直捨石堤の波高伝達率は次の如くなる。

$$K_T = 1/\{1+1.26(B/d)^{0.67}(H/L)^{0.5}\}^2 \quad \dots \dots \dots (2)$$

たゞし、 $H/L < 0.5$ ,  $B/L < 0.25$ ,  $B/h < 1.24$

上式から、Bが一定なら、dが小さいほどK/Tを小さくしうることが分る。なお、Johnson ら<sup>4)</sup>はd = 3.12, 1.34および0.86 cmの捨石を用いた実験から縮尺の影響を確認しているが、前述の考察と合わせて考えると、極端にdの小さい石を用いて実験するのではなくれば、鉛直捨石堤の波高伝達率Kに及ぼす縮尺の影響は考慮する必要がないと考え

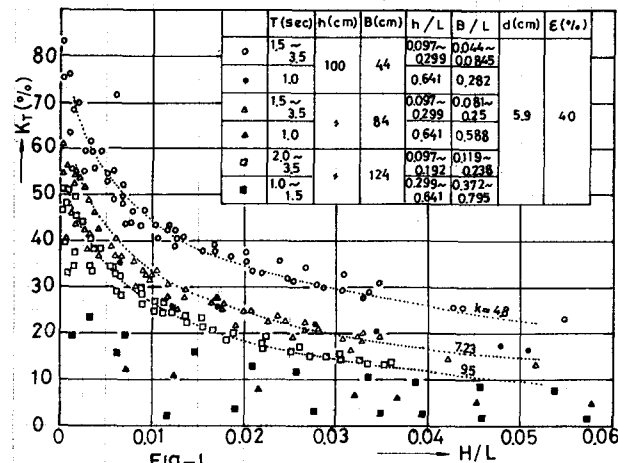


Fig-1

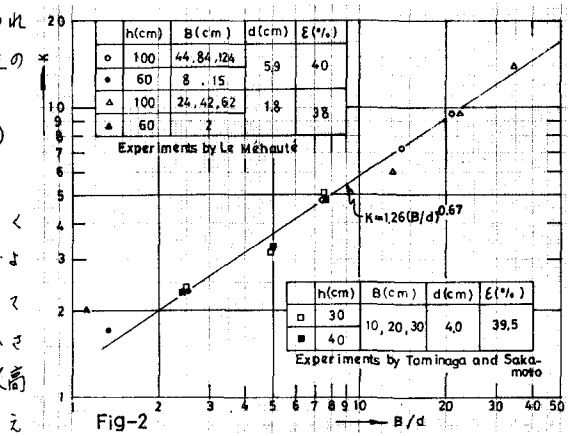


Fig-2

られる。

## 2-2 鉛直アロック堤の場合

Fig-3は、著者らおよび長尾・加藤の実験からK値を求める。Fig-2と同様の整理をしたものである。この場合、粒径dのばりKアロックの高さ〔長尾・加藤の実験値は  $d = \alpha k_d (W/H_f)^{1/3}$  より求めた。ただし、 $\alpha = 1.53$ ,  $k_d = 1.0$ ,  $H_f = 2.3$ とした〕を用いた。Fig-2に比べK値のバラツキは大きくなっているが、ほぼ一本の直線で近似され、鉛直アロック堤の波高伝達率は次の如くなる。

$$K_T = 1 / \left\{ 1 + 1.184 (B/d)^{0.895} (H/L)^{0.5} \right\}^2 \quad (3)$$

なお、図中  $B/d = 2.5$  の著者らの実験値( $\Delta, \blacktriangle, \square$ )は、縮尺の影響をみるために、実験条件をFroudeの相似則を満足するように、アロックの縮尺比によって変化させて行なったものであり、さらに小さなアロックを用いて行なった長尾・加藤らの実験値も著者らの実験値とは同一直線となることを考えると、この場合も、通常行なわれる縮尺の実験では、殆んど縮尺の影響を考慮する必要がないと考えられる。

## 3 反射率

この種構造物の反射率  $K_R (H_R/H_I, H_I$  は反射波高) は、  $K_T$  に比べ、波形勾配による差はあまりなく、実験値のバラツキの範囲内では、波形勾配と関係なく一定と見なし得るようと思われる。Fig-4は、Tを一定に保ち、Hを種々変化させて行なった Le Méhauté の一連の実験から。

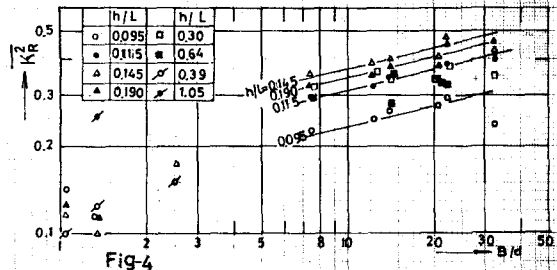


Fig-3

Fig-4

$H/L$  の影響を無視してエネルギー反射率の平均値  $\bar{K}_R^2$ (ただし、 $H/L < 0.01$  のデーターは除く)を求め、これと  $B/d$  との関係を  $h/L$  をパラメーターとして図示したものである。 $h/L < 0.2$  では  $B/d$  の増加と共に  $\bar{K}_R^2$  は増加し、 $\bar{K}_R^2 \propto (B/d)^{0.24}$  の関係を示すが、 $h/L > 0.2$  では  $B/d$  の影響は小さく無視して差支えないようと思われる。一方、 $h/L$  の影響をみると、 $h/L < 0.15$  では  $h/L$  の増加と共に  $\bar{K}_R^2$  は大きくなるが、 $h/L > 0.15$  では逆に若干減少するような傾向が認められる。Fig-5 は、 $\bar{K}_R^2 = \alpha (B/d)^{0.24}$  とあわせてときの比例定数  $\alpha$  と  $h/L$  の関係を図示したものである。 $h/L < 0.15$  では、 $\alpha$  は  $h/L$  の一次関数として表わされるようだと思われるが、さう

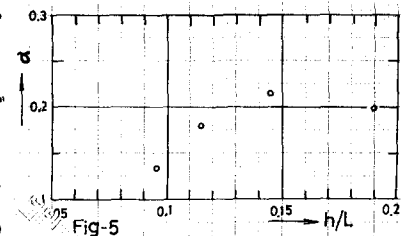


Fig-5

を検討する必要があろう。なお、 $B/d$  が極端に小さくなると  $\bar{K}_R^2$  は  $B/d$  > 1 の値  $K_T$  に近づかなければならぬ。前述のように近似は成り立たなくなるようだと思われる。

Fig-6 は  $B/d \neq 2.5$  の場合の鉛直アロック堤に対する著者らの実験から  $\bar{K}_R^2$  と  $h/L$  の関係を図示したもので、Fig-4 と同様  $h/L < 0.17$  の本実験の範囲内では  $h/L$  の増加と共に  $\bar{K}_R^2$  は大きくなる傾向が認められる。今後  $B/d$  の影響についてさらに検討する必要があろう。

1966, PP1022~4.

参考文献 6) Johnson, J.W.他: 10th Conf on Coast. Eng.,

- 1) 沼田 淳: 第11回災害科学シンポ, 1974, PP.297~8.
- 2) Le Méhauté: La Houille Blanche, No.2, 1958, pp.148~179.
- 3) 富永正照・坂本忠彦: 土研報告, No.137, 1970, pp.117~140.
- 4) 長尾義三・加藤久徳: 第17回国海講, 1970, pp.145~153.
- 5) 井島武士他: 第18回国海講, 1971, pp.121~130.

## 4 忻び

本研究を行なうにあたり、種々御指導を賜った東北大  
学 岩崎敏夫教授に深く感謝の意を表します。また、本  
研究は計画研究(研究代表者 京都大学 岩崎教授)の  
一部であることを付記し深謝致します。